

01,05

## Исследование квантовых флуктуаций в $\text{Fe}_x\text{Mn}_{1-x}\text{Si}$ с учетом LDA + U + SO-расчетов электронной структуры

© А.А. Повзнер, Т.М. Нуретдинов, А.Г. Волков

Уральский федеральный университет им. Б.Н. Ельцина,  
Екатеринбург, Россия

E-mail: a.a.povzner@urfu.ru

(Поступила в Редакцию 29 ноября 2018 г.

В окончательной редакции 29 ноября 2018 г.

Принята к публикации 5 декабря 2018 г.)

На основе прямых расчетов электронной структуры исследуются квантовые спиновые флуктуации в киральных геликоидальных ферромагнетиках  $\text{Fe}_x\text{Mn}_{1-x}\text{Si}$ . Показано, что исчезновение геликоидального дальнего порядка, сопровождается возникновением кроссовера термодинамического и квантового переходов с резким уменьшением локальной намагниченности и амплитуды нулевых флуктуаций. Подавление локальной намагниченности квантовыми спиновыми флуктуациями приводит к концентрационно-температурному магнитному переходу с исчезновением геликоидального ближнего порядка. Результаты расчетов локальной намагниченности составов  $\text{Fe}_x\text{Mn}_{1-x}\text{Si}$  показывают, что при  $0.12 < x < 0.20$  магнитное состояние в термодинамическом пределе характеризуется ближним (а не дальним) геликоидальным порядком.

Результаты были получены в рамках задания министерства образования и науки Российской Федерации (контракт 3.9521.2017/8.9).

DOI: 10.21883/FTT.2019.04.47404.307

### 1. Введение

Киральные ферромагнитные геликоиды  $\text{MnSi}$  и  $\text{Fe}_x\text{Mn}_{1-x}\text{Si}$  относятся к структурному типу B20 с пространственной группой  $P2_13$ , для которой характерно отсутствие центра инверсии [1,2]. Вследствие такой симметрии возникает антисимметричный релятивистский обмен Дзялошинского–Мории (ДМ) [3,4], который совместно с неоднородным обменным взаимодействием приводят к возникновению спиновой спирали с большим (порядка 100–1000 ангстрем) магнитным периодом [5]. Согласно экспериментальным исследованиям [6], при магнитных фазовых переходах в этих магнетиках, сначала исчезает дальний геликоидальный ферромагнитный порядок (в точке  $T_C$ ), при этом возникает ближний геликоидальный порядок с флуктуациями спиновой спирали [6], и только затем, при температуре  $T_S$  ( $> T_C$ ) реализуется парамагнитное состояние. При экспериментальных исследованиях концентрационно-температурных диаграмм  $\text{Fe}_x\text{Mn}_{1-x}\text{Si}$  обнаружены концентрационные магнитные переходы с исчезновением дальнего, а затем ближнего порядка [7].

В работе Янсена и Бака [8] на основе ренорм-группового анализа магнитного перехода в  $\text{MnSi}$  был сделан вывод о невозможности в нем магнитного фазового перехода второго рода.

Согласно [9] одной из причин невозможности термодинамического фазового перехода второго рода является наличие в функционале Гинзбурга–Ландау ( $F$ ) неаналитической поправки, которую можно интерпретировать в духе межмодового взаимодействия, связанного с взаимодействием спиновых флуктуаций. При этом,

поскольку параметры межмодового взаимодействия зависят от электронной структуры и межчастичных взаимодействий в системе магнитоактивных электронов, теория фазовых переходов должна строиться с учетом конкретной структуры исследуемых магнетиков, например, на основе *ab initio* расчетов энергетического электронного спектра  $\text{MnSi}$  [10].

Однако спиновые флуктуации и их связь с эволюцией электронной структуры при концентрационных магнитных переходах в  $\text{Fe}_x\text{Mn}_{1-x}\text{Si}$  не изучены.

### 2. Модель

Будем рассматривать модель, в которой основное состояние описывается в приближениях метода LSDA + U + SO, а в возбужденном нулевыми и тепловыми спиновыми флуктуациями состоянии следует рассматривать поправки, связанные с хаббардовскими и гундовскими межчастичными корреляциями. Гамильтониан такой модели сильно коррелированной электронной системы записывается в виде

$$H = H_0 + \delta H_U. \quad (1)$$

Здесь

$$H_0 = \sum_{\mathbf{k}, m, \sigma} \varepsilon_{\mathbf{k}, m, \sigma}^{(\text{LSDA})} a_{\mathbf{k}, m, \sigma}^+ a_{\mathbf{k}, m, \sigma}$$

— диагонализированный в LSDA + U + SO-приближении гамильтониан  $d$ -электронов. Наряду с гамильтонианом  $H_0$ , используемым в методе LSDA + U + SO, рассматри-

ваются

$$\delta H_U = \frac{1}{4} \sum_q \left[ (U - J/2) |\delta n_q|^2 - (U + J) \sum_m |\delta n_{q,m}|^2 \right] - \sum_q \left[ J |\delta S_q^{(z)}|^2 + (U - J) \sum_m |\delta S_{q,m}^{(z)}|^2 \right]. \quad (2)$$

Здесь,  $U$  и  $J$  — параметры хаббардовского и хундовского взаимодействий соответственно,

$$\delta n_q = \sum_m \delta n_{q,m}, \quad \delta S = \sum_m \delta S_{q,m}^{(z)},$$

$$\delta n_{q,m} = \sum_{\sigma} n_{q,m,\sigma} - \delta_{q,0} N_m^{(LDA)},$$

$$n_{q,m,\sigma} = a_{k,m,\sigma}^+ a_{k+q,m,\sigma}, \quad a_{k,m,\sigma}^+ (a_{k,m,\sigma})$$

— операторы рождения (уничтожения) в состоянии с квазиимпульсом  $\mathbf{k}$  и магнитным и спиновым квантовыми числами  $m$  и  $\sigma$ ,

$$\delta S_{q,m}^{(z)} = S_{q,m}^{(z)} - \delta_{q,0} M_m^{(LDA)}, \quad S_{q,m}^{(z)} = \sum_{\sigma} \sigma n_{q,m,\sigma} / 2,$$

а  $M_m^{(LDA)}$  и  $N_m^{(LDA)}$  — средние значения операторов спиновой и зарядовой плотностей в приближении среднего поля (LSDA + U + SO-метод).

Зарядовыми флуктуациями чисел заполнения будем пренебрегать, поскольку они ведут к большим флуктуациям энергии электронной системы, а потому маловероятны. Для определения амплитуды спиновых флуктуаций воспользуемся флуктуационно-диссипативной теоремой, в которой вклады, связанные с нулевыми и тепловыми флуктуациями, определяются через интеграл от мнимой части неоднородной динамической восприимчивости, который можно разбить на слагаемые с фактором „1/2“ и с функцией Бозе–Эйнштейна ( $f_B(\omega/T)$ ) соответственно

$$\langle m^2 \rangle = N_0^{-1} \sum_q \int_0^{\infty} \left( \frac{1}{2} + f_B(\omega/T) \right) \text{Im} \chi(\gamma, \gamma) d\omega. \quad (3)$$

Для вычисления квантово-статистических средних будем использовать технику мацубаровского представления взаимодействия, в которой

$$\langle (\dots) \rangle = Z^{-1}(0) S_p T_{\tau} (\dots) \exp \left( - \int_0^{1/T} d\tau H(\tau) \right),$$

$T_{\tau}$  — оператор упорядочения по мацубаровскому времени  $\tau$ ,  $H(\tau) = e^{H_0 \tau} H e^{-H_0 \tau}$  — гамильтониан (1) в мацубаровском представлении взаимодействия. Тогда вводя производящий функционал

$$Z(\mathbf{h}) = S_p T_{\tau} \exp \left( - \int_0^{1/T} d\tau H(\tau) + T^{-1} \sum_q \mathbf{h}_q S_q \right), \quad (4)$$

имеем

$$\chi_q^{(\gamma, \gamma')} = T^{-1} \lim_{\mathbf{h}_q \rightarrow 0} \partial^2 \ln Z(\mathbf{h}) / \partial h_q^{(\gamma)} \partial h_{-q}^{(\gamma')} = T^{-1} \left\langle (S_q^{(\gamma)} - \langle S_q^{(\gamma)} \rangle) (S_{-q}^{(\gamma')} - \langle S_{-q}^{(\gamma')} \rangle) \right\rangle, \quad (5)$$

Отметим, что выражение (4) с учетом записи гамильтониана (1), (2) может быть представлено в виде [10], в котором кулоновские корреляции описываются через взаимодействие электронов с флуктуирующими в пространстве и времени обменными полями

$$Z(\mathbf{h}) = \int_{-\infty}^{\infty} (d\xi, d\eta) \exp(-\Phi(\xi, \eta)/T) \times \exp \left\{ - \sum_{q,m} |\eta_{q,m}|^2 - b \left| \sum_{q,m} \eta_{q,l,m} \right|^2 - (ic/T) \sum_m \eta_{0,m} N_m^{(LDA)} \right\} \times \exp \left\{ -a \left| \sum_{q,m} (\xi_{q,m} - c^{-1} \mathbf{h}_{q,m}) \right|^2 - \sum_{q,m} |\xi_{q,m} - c^{-1} \mathbf{h}_{q,m}|^2 + 2(c/T) \sum_m (M_m^{(LDA)} - \Delta/U) (\xi_{0,m,z} - c^{-1} h_{0,m}^{(z)}) \right\}. \quad (6)$$

Здесь  $T$  — температура в энергетических единицах,

$$a = JU(U - J)^{-1}(U + 5J)^{-1}, \quad b = 4U(U - 5J)^{-1},$$

$c = U^{1/2} T^{1/2}$ ,  $\Phi(\xi, \eta) = -T \ln S_p T_{\tau} \exp(-H_{\text{eff}}(\xi, \eta)/T)$  — функционал свободной энергии электронов, движущихся в одной из конфигураций стохастических обменных ( $\xi$ ) и зарядовых ( $\eta$ ) полей,  $q = (\mathbf{q}, \omega_n)$  — 4-вектор, включающий в себя мацубаровскую бозевскую частоту ( $\omega_n$ ),

$$H_{\text{eff}} = \sum_{k,m,\sigma} \varepsilon_{k,m,\sigma} a_{k,m,\sigma}^+ a_{k,m,\sigma} + c \sum_{v,m} (\xi_{v,m} \mathbf{S}_{v,m} + (i/2) \eta_{v,m} n_{v,m}) \quad (7)$$

— эффективный гамильтониан, в котором  $\varepsilon_{k,m,\sigma} = \varepsilon_{k,m,\sigma}^{(LDA)} - \sigma \Delta$ ,  $\varepsilon_{k,m,\sigma}^{(LDA)}$  — электронный спектр, рассчитанный в LDA + U + SO-приближении,  $\Delta$  — величина спинового расщепления энергий LDA + U + SO-состояний, которая принимается не зависящей от квазиимпульса.

Переменные интегрирования ( $d\xi = \prod_{m,\gamma} [d\xi_{m,0}^{(\gamma)} \prod_{j,q,0} d\xi_{m,q,j}^{(\gamma)}]$ )  $\xi_{m,q}^{(\gamma)} = \xi_{m,q,1}^{(\gamma)} + i \xi_{m,q,2}^{(\gamma)}$  ( $\xi_{m,0,2}^{(\gamma)} = 0$ ) возникают из слагаемых (2) ответственных за спин-спиновое взаимодействие и связаны со спиновыми корреляторами (определяющими спиновые флуктуации и параметры порядка)

$$Tc^{-1}(1+a)(\xi_{m,q}^{(\gamma)} + c^{-1}h_q^{(\gamma)}) = \langle S_{m,q}^{(\gamma)} \rangle$$

$$UTc^{-2}(1+a)2|\xi_{m,q}^{(\gamma)} + c^{-1}h_q^{(\gamma)}|^2 - 1 = \left\langle (|S_{m,q}^{(\gamma)}|^2 - |\langle T_{\tau} S_{m,q}^{(\gamma)} \rangle|^2) \right\rangle.$$

Для того чтобы описать возникновение в ферромагнитном состоянии геликоидальной спиновой спирали, выражение (7), полученное выше должно быть скорректировано учетом взаимодействия Дзялошинского–Мории, которое вследствие его релятивистской малости опишем в приближении среднего поля. Для этого выполним следующую замену

$$H_{\text{eff}} \rightarrow H_{\text{eff}} - \sum_m [\mathbf{h}_{\mathbf{q},m}^{(D)} \mathbf{S}_{-\mathbf{q},m}] \text{ и } \xi_{q,m} = \xi_{q,m} - \delta_{\omega_n,0} \mathbf{h}_{\mathbf{q},m}^{(D)} / c. \quad (8)$$

Здесь  $\mathbf{h}_{\mathbf{q},m}^{(D)} = [\langle \mathbf{S}_{\mathbf{q},m} \rangle \mathbf{d}_{\mathbf{q}}]$  — вектор поля Дзялошинского,  $\mathbf{d}_{\mathbf{q}} = id\mathbf{q}$ ,  $d$  — константа взаимодействия Дзялошинского,  $\langle \mathbf{S}_{\mathbf{q},m} \rangle$  — вектор фурье-образа среднего от оператора неоднородной спиновой плотности на векторе  $\mathbf{q}$ .

### 3. Уравнения магнитного состояния с учетом ДМ-взаимодействия

При квантово-статистическом усреднении (шпурировании) в (4) будем рассматривать крупномасштабные и медленные (в сравнении со временем межузельных электронных перескоков) спиновые флуктуации путем учета пространственно-временных неоднородностей только в слагаемых  $\Phi(\xi, \eta)$ , соответствующих обратному фактору обменного усиления магнитной восприимчивости  $(1 - U\chi^{(0)}(\mathbf{q}, \omega))$ , который аномально сильно зависит от квазиимпульса и частоты [10]. Тогда проводя суммирование по мацубаровским частотам с помощью теоремы „о вычетах“

$$T \sum_{\omega_{2n=1}} (\dots) = (2\pi i)^{-1} \oint d\omega \text{cth}(\omega/2T) (\dots),$$

$$T \sum_{\omega_{2n}} (\dots) = (2\pi i)^{-1} \oint d\omega \text{cth}(\omega/2T) (\dots),$$

и, суммируя ряды по степеням обменных полей, можно получить выражение для свободной энергии  $F (= T \ln Z(0))$ .

Уравнения магнитного состояния, получаемые из условий седловой точки свободной энергии по переменным  $\xi_{0m}$ ,  $\text{Re} \xi_{q,m,\gamma}$  и  $\text{Im} \xi_{q,m,\gamma}$ , указывают на возможность существования не только геликоидальной ферромагнитной фазы и фазы геликоидального ближнего порядка [11], но и скрытой ферромагнитной фазы, описываемых уравнениями

$$\langle \mathbf{S}_{\mathbf{q}} \rangle (D^{-1} + X_{\mathbf{q}}(0) + a) + 2^{-1} \kappa \langle \mathbf{S}_{-\mathbf{q}} \rangle (\langle \mathbf{S}_{\mathbf{q}} \rangle)^2 = \mathbf{h}_{\mathbf{q}}^{(D)}, \quad (9a)$$

$$\langle S_{0,\gamma}^{(Z)} \rangle (D^{-1} + \kappa |\langle \mathbf{S}_0 \rangle|^2 + a) = -\Delta (D^{-1} + a - \kappa \langle \mathbf{m}^2 \rangle / 3). \quad (9b)$$

При этом амплитуды спиновых флуктуаций определяются из условий перевала для  $\xi$  [12] и описываются выражениями соответствующими флуктуационно-диссипативной теореме

$$\langle m_{\gamma}^2 \rangle = 2(UN_0)^{-1} \sum_{\mathbf{q}} \int_0^{\infty} \left( \frac{1}{2} + f_B(\omega/T) \right) \times \text{Im} \left( D^{-1} + 2\kappa |\langle S_{\mathbf{q}_0}^{(\gamma)} \rangle|^2 + a + X_{\mathbf{q}}(\omega) \right)^{-1} d\omega, \quad (10)$$

где

$$X_{\mathbf{q}}(\varpi) = U(\chi^{(0)}(0, 0) - \chi^{(0)}(\mathbf{q}, \omega)),$$

$$\chi^{(0)}(\mathbf{q}, \omega) = \sum_k \frac{f_F(\varepsilon_{\mathbf{k}} - \mu) - f_F(\varpi + \varepsilon_{\mathbf{k}+\mathbf{q}} - \mu)}{\varpi + \varepsilon_{\mathbf{k}+\mathbf{q}} - \varepsilon_{\mathbf{k}} - i\delta}$$

функция Линдхарда (парамагнитная паулиевская запаздывающая динамическая восприимчивость),  $\delta \rightarrow 0$ ,  $\kappa = (U/m^2) |\chi_{\perp} - \chi_{\parallel}|$  — параметр межмодового взаимодействия, перенормированный взаимодействием электронов с флуктуирующими обменными полями и совпадает с использованной в работе [10] для нулевого приближения относительно этих перенормировок. Поперечные и продольные восприимчивости определяются выражениями

$$\chi_{\perp} = (2Um)^{-1} \Delta n \text{ и } \chi_{\parallel} = 2 \left( \sum_{\alpha=\pm 1} g_{\alpha}(\mu) \right)$$

где

$$\Delta n = \sum_{\alpha=\pm 1} \alpha \int_{-\infty}^{\infty} g_{\alpha}(\varepsilon) f(\varepsilon - \mu) d\varepsilon$$

— разность чисел заполнения спин-симметризованных и спин-антисимметризованных электронных состояний,  $D^{-1} = 1 - U\chi_{\perp} + \kappa \langle \mathbf{m}^2 \rangle / 3$  — коэффициент обменного усиления однородной магнитной восприимчивости. Подчеркнем, что учет ДМ-взаимодействия в уравнениях магнитного состояния приводит к среднеквадратическому магнитному моменту

$$m^2 = \sum_{\gamma} \left( \sum_{\mathbf{q}(\omega_n=0)} |\langle S_{\mathbf{q}}^{(\gamma)} \rangle|^2 + (c/U)^2 \sum_{\mathbf{q}, \omega_n(\neq 0)} |\xi_{\mathbf{q}, \omega_n}^{(\gamma)}|^2 \right), \quad (11)$$

содержащему вклад статических (классических) флуктуаций локальной намагниченности, связанной с геликоидальной ВСП (первое слагаемое (11)) и квантовых флуктуаций (второе слагаемое (11)).

Требование электронейтральности для числа электронов имеет вид

$$N = \partial F / \partial \mu = \sum_{\alpha} \int d\varepsilon g_{\alpha}(\varepsilon) f_F(\varepsilon - \mu), \quad (12)$$

где  $f_F(\varepsilon - \mu)$  — функция Ферми–Дирака.

В случае близости химического потенциала к области запрещенных энергий (как это имеет место в

электронной структуре геликоидальных ферромагнетиков со структурой B20) требование (12) приводит к дополнительным ограничениям на условия устойчивости спиновых состояний.

При этом, объединяя уравнения магнитного состояния (9, a, b) с условием (12), получаем, что в геликоидальном ферромагнетике ( $\langle S_{0,z}^{(Z)} \rangle = 0$ ) при наличии и неравенстве нулю  $\Delta$  имеем

$$\langle m^2 \rangle + M_S^2 = \frac{1}{2} (1 + a)^{-1} \sum_{\alpha=\pm 1} \alpha \int_{-\infty}^{\infty} g_{\alpha}(\epsilon) f(\epsilon - \mu) d\epsilon, \tag{13}$$

$M_S^2$  — квадрат локальной намагниченности.

#### 4. Численная модель магнитных переходов в $Fe_xMn_{1-x}Si$

Для численного анализа электронной структуры и уравнения магнитного состояния геликоидальных ферромагнетиков  $Fe_xMn_{1-x}Si$  могут быть использованы методы прямых зонных расчетов в приближении среднего поля. В настоящей работе расчеты затравочных электронных спектров  $\epsilon_{\mathbf{k},m,\sigma}^{(0)} = \epsilon_{\mathbf{k},m}^{(0)} - \sigma\Delta$  выполнены с использованием метода LSDA + U + SO в пакете Elk с учетом кристаллической структуры B20 (пространственная группа  $P2_13$ ) и частных позиций атомов  $Fe_xMn_{1-x}Si$  [13]. Значения параметра хаббардовского взаимодействия определялись из условий согласия результатов численных расчетов с экспериментальными данными (см. ниже). Параметр гундовского взаимодействия рассчитывался с помощью процедуры, реализуемой в пакете Elk [14]. При этом найденные значения параметров взаимодействий соответствовали условиям минимума полной энергии в приближении среднего поля.

Амплитуда спиновых флуктуаций вычисляется в изотропном приближении по флуктуационно-диссипативной теореме (3, 10) с использованием известной аппроксимацией функции Линдхарда

$$\chi^{(0)}(\mathbf{q}, \omega) = \chi^{(0)}(0, 0) + \chi^{(0)}(0, 0) \left( A(\mathbf{q}/k_F)^2 - iBU^{-1} \right) \times \frac{\omega}{|\mathbf{q}/k_F|} \theta(T_0|\mathbf{q}/k_F - \omega) \theta(2k_F - |\mathbf{q}|), \tag{14}$$

где коэффициенты A и B пропорциональны плотности электронных состояний на уровне Ферми. Параметр A в соответствии с приближением эффективной массы также как и в модели свободных электронов равен 1/12, B выражается через значение приведенной эффективной массы ( $B = (\pi/3)M_{\text{eff}}/M_e$ ), которое в наших расчетах было равным  $M_{\text{eff}} = 5M_e$  ( $M_e$  — масса свободных электронов).

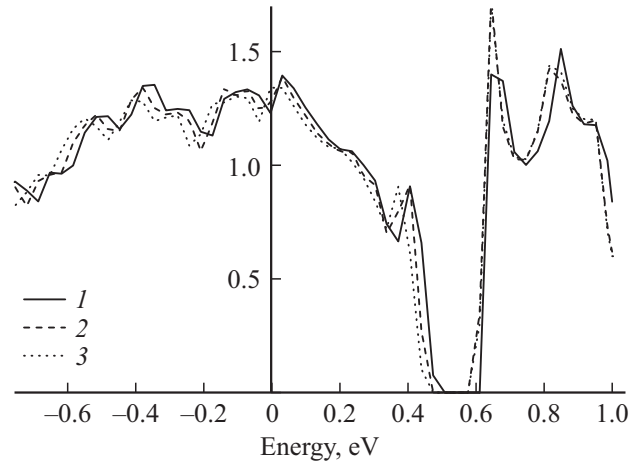


Рис. 1. Плотность электронных состояний, рассчитанная в рамках LDA + U + SO-расчетов при значении хаббардовского взаимодействия  $U = 1$  eV: 1 —  $x = 0.04$ , 2 —  $x = 0.08$ , 3 —  $x = 0.12$ .

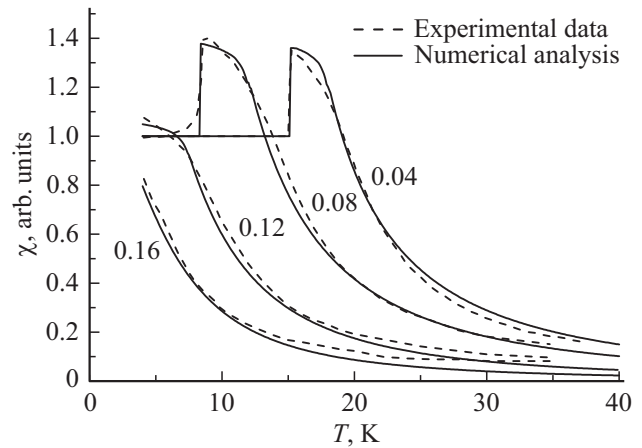


Рис. 2. Температурные зависимости магнитной восприимчивости для различных составов  $Fe_xMn_{1-x}Si$ .

При этом согласно (14), получаем, что амплитуда нулевых спиновых флуктуаций

$$\langle m^2 \rangle_0 = (4\pi^2 A^2 B)^{-1} N_f \sum_{\gamma} [(D^{-1} + 2\kappa M_s^2 + a)^2 - A^2] \times [1 + \ln(1 + B^{-1}(D^{-1} + 2\kappa M_s^2 + a)^2)], \tag{15}$$

а амплитуда тепловых спиновых флуктуаций в аппроксимации (14) монотонно возрастает по квадратичному закону

$$\langle m^2 \rangle_T = N_f (3/4) B (T/U)^2 (D^{-1} + a + 2\kappa M_s^2)^{-1} \times (D^{-1} + a + 2\kappa M_s^2 + A)^{-1}. \tag{16}$$

Результаты расчета плотности электронных состояний приводятся на рис. 1. На рис. 2 приведены полученные в

такой картине результаты расчетов температурных зависимостей однородной магнитной восприимчивости (9b).

Как было показано ранее [10], при  $\kappa > 0$  решение уравнения (9а) соответствует ферромагнитному геликоидальному порядку с фиксированным волновым вектором  $|\mathbf{q}_0| \approx d/2UA$ , причем

$$\langle S_y^{(x)} \rangle = M_S \cos(\mathbf{q}_0 \mathbf{v} + \phi_0), \quad \langle S_y^{(y)} \rangle = -M_S \sin(\mathbf{q}_0 \mathbf{v} + \phi_0).$$

Модуль локальной намагниченности определяется уравнением

$$M_S = (2\kappa)^{-1/2} ((D^{-1} + X(\mathbf{q}_0, 0) + a)^2 - (d|\mathbf{q}_0|)^2)^{1/2}. \quad (17)$$

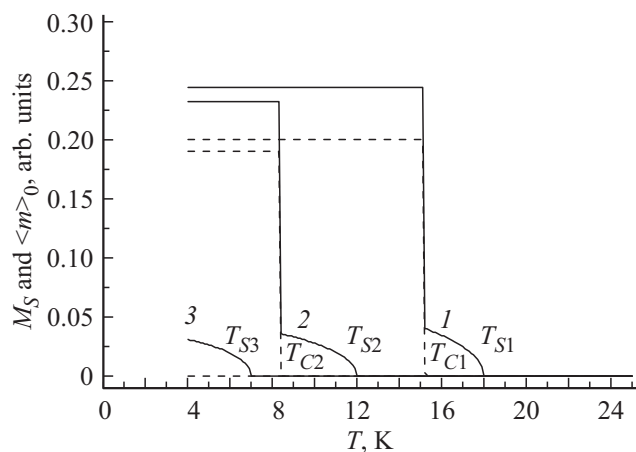
и убывает с ростом температуры. При этом сравнивая (12) и (17) вблизи и выше  $T_C$  можно получить, что локальная намагниченность не исчезает выше  $T_C$  из-за ДМ-взаимодействия (рис. 3).

Геликоидальная ферромагнитная фаза теряет термодинамическую устойчивость при температуре смены знака параметра мода-мода  $\kappa$ , соответствующей максимуму однородной магнитной восприимчивости. Вблизи и выше температуры  $T_C$  или в основном состоянии вблизи и выше концентрации  $x_C$  имеет вид

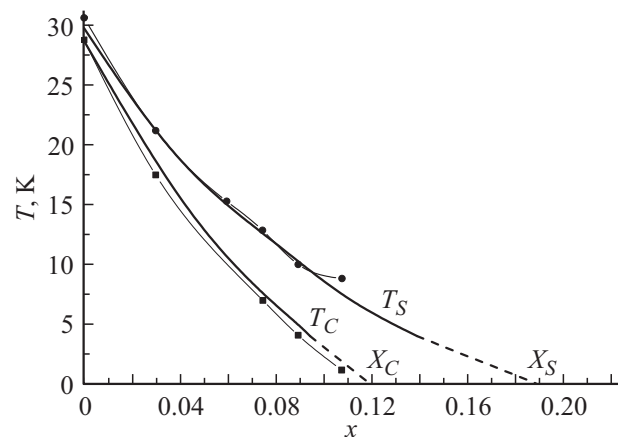
$$\langle \mathbf{m}^2 \rangle_0 = (4\pi^2 A^2 B)^{-1} N_f \sum_{\gamma} [(\kappa M_S^2)^2 - A^2]. \quad (18)$$

При магнитном переходе с потерей дальнего порядка ( $x = x_C$  или  $T = T_C$ ) нулевые флуктуации определяются изменением параметра мода-мода и локальной намагниченности (17). При  $d = 0$  локальная намагниченность и амплитуда нулевых флуктуаций исчезали бы в точке  $T_C$ .

Численный анализ показывает, что этот эффект имеет место для составов с  $x < x_C$  ( $\approx 0.12$ ) (см. рис. 2 и 3). При  $x > x_C$  в согласии с экспериментом [6] геликоидальный ферромагнетизм исчезает в основном состоянии (рис. 1). Согласно рис. 2, 3 при концентрации  $x_C$  также имеет место резкое ослабление нулевых спиновых



**Рис. 3.** Локальная намагниченность (сплошные линии) и амплитуда нулевых спиновых флуктуаций (пунктирные линии): 1 —  $x = 0.04$ , 2 —  $x = 0.08$ , 3 —  $x = 0.12$ .



**Рис. 4.** Зависимость температур перехода от концентрации. Точками обозначены результаты экспериментальных исследований [5].

флуктуаций (18), а магнитная восприимчивость (14) становится отрицательной (потеря устойчивости скрытой ферромагнитной фазы). На рис. 4 приводятся результаты вычислений зависимости температуры  $T_C$  от  $x$ . При этом возникает максимум однородной магнитной восприимчивости (14).

Для  $\kappa \leq 0$  и  $0 > D^{-1} + a \geq -3d|\mathbf{q}_0|/2$  (т.е.  $(D^{-1} + X(\mathbf{q}_0, 0) + a + d\mathbf{q}_0) > 0$ ), как отмечалось ранее [10] возникает геликоидальный ближний порядок с флуктуациями начальной фазы  $\phi$  спиновой спирали. Концентрационная зависимость температуры  $T_S$ , при которой локальная намагниченность (17) исчезает, приведена и сопоставлена с экспериментальными данными [5] на рис. 4.

## 5. Заключение

Согласно построенной модели DOS наблюдаемые на эксперименте концентрационные магнитные переходы в  $\text{Fe}_x\text{Mn}_{1-x}\text{Si}$  обусловлены близостью химического потенциала к нижнему краю области запрещенных энергий в электронной структуре основного состояния. Вырождение  $5/2$   $d$ -состояний обуславливает достаточно большое гундовское взаимодействие, что согласно (15) ведет к большим амплитудам нулевых спиновых флуктуаций.

Это приводит к нарушению условия электронейтральности (12) вблизи  $x_C$  и к возникновению кроссовера квантового и термодинамического переходов. В результате имеет место скачкообразное исчезновение нулевых флуктуаций, сопровождаемое уменьшением плотности состояний вблизи энергии Ферми, что ведет к исчезновению скрытой ферромагнитной фазы (дальнего порядка).

Второй концентрационный переход, как видим связан с исчезновением локальной намагниченности, что ведет к подавлению эффектов спиновой киральности и, в согласии с экспериментом [11], имеет место при температурах и концентрациях  $T_S$  и  $x_S$  более высоких

чем  $T_C$  и  $x_C$ . При исчезновении ближнего порядка в основном состоянии с увеличением  $x$  имеет место сдвиг химического потенциала вверх по шкале энергий. При этом согласно (17) получаем, что должна существовать концентрация  $x_S$  ( $\approx 0.2$ ), при которой геликоидальный ближний порядок и флуктуации спиновой спирали должны исчезать уже в основном состоянии.

## Список литературы

- [1] S.V. Grigoriev, D. Chernyshov, V.A. Dyadkin, V. Dmitriev, E.V. Moskvina, D. Lamago, Th. Wolf, D. Menzel, J. Schoenes, S.V. Maleyev, H. Eckerlebe. *Phys. Rev. B* **81**, 012408 (2010).
- [2] С.М. Стишов, А.Е. Петрова. *УФН* **181**, 1157 (2011).
- [3] И.Е. Дзялошинский. *ЖЭТФ* **32**, 1548 (1957).
- [4] Т. Moriya. *Phys. Rev.* **120**, 91 (1960).
- [5] S.V. Grigoriev, E.V. Altynbaev, S.-A. Siegfried, K.A. Pschenichnyi, D. Menzel, A. Heinemann, G. Chaboussant. *Phys. Rev. B* **97**, 024409 (2017).
- [6] S.V. Grigoriev, V.A. Dyadkin, E.V. Moskvina, D. Lamago, Th. Wolf, H. Eckerlebe, S.V. Maleyev *Phys. Rev. B* **79**, 144417 (2009).
- [7] S.V. Grigoriev, E.V. Moskvina, V.A. Dyadkin, D. Lamago, T. Wolf, H. Eckerlebe, S.V. Maleyev. *Phys. Rev. B* **83**, 224411 (2011).
- [8] P. Bak, M.H. Jensen. *J. Phys. C* **13**, L881 (1980).
- [9] С.А. Бразовский, И.Е. Дзялошинский, Б.Г. Кухаренко. *ЖЭТФ* **70**, 2257 (1976).
- [10] A.A. Povzner, A.G. Volkov, T.A. Nogovitsyna. *Physica B* **536**, 408 (2018).
- [11] S.V. Demishev, I.I. Lobanova, V.V. Glushkov, T.V. Ischenko, N.E. Sluchanko, V.A. Dyadkin, N.M. Potapova, S.V. Grigoriev. *Pis'ma v ZhETF* **98**, 12, 933 (2013).
- [12] Т. Мория. Спиновые флуктуации в магнетиках с коллективизированными электронами. Мир, М. (1988). 288 с.
- [13] <http://elk.sourceforge.net>.
- [14] F. Bultmark, F. Cricchio, O. Grånäs, L. Nordström. *Phys. Rev. B* **80**, 035121 (2009).

Редактор Т.Н. Василевская